

POBOLJŠANJE I RESTAURACIJA SLIKE

U procesu akvizicije slika često biva degradirana. Uzroci mogu biti različiti: mehanički problemi, zamućenje zbog lošeg fokusiranja, pokreti objekata i/ili pozadine, neodgovarajuća osvjetljenost, šum, proces kvantizacije... Svrha *poboljšanja* slike ja da polazeći od snimljene slike $c[m, n]$ dobijemo sliku $\hat{a}[m, n]$ koja je oku najugodnija. Svrha *restauracije* je da polazeći od snimljene slike $c[m, n]$ dobijemo najbolji mogući estimat $\hat{a}[m, n]$ originalne slike $a[m, n]$. Cilj poboljšanja je ljepota, cilj restauracije je istina.

Mjera uspješnosti restauracije je često greška između originala $a[m, n]$ i estimata $\hat{a}[m, n]$:

$\mathcal{E}\{\hat{a}[m, n], a[m, n]\}$. Nije poznata matematička funkcija greške koja odgovara ljudskoj percepciji uspješnosti restauracije. Najčešće se koristi srednjekvadratna funkcija greške:

$$\mathcal{E}\{\hat{a}, a\} = \frac{1}{MN} \sum_{m=0}^{M-1} \sum_{n=0}^{N-1} |\hat{a}[m, n] - a[m, n]|^2 .$$

U nekim slučajevima, računanje greške nije neophodno, dok u drugim ona predstavlja osnovu za razvoj i poređenje tehnika restauracije.

Ranije opisane osnovne operacije digitalne obrade slike se mogu kombinovati u efikasne tehnike za rješavanje specifičnih problema poboljšanja i restauracije slike.

PRIGUŠIVANJE ŠUMA

Raspoložive tehnike za prigušivanje šuma mogu se podijeliti na jedne zasnovane na vremenskim informacijama i druge zasnovane na prostornim informacijama. Pod pojmom vremenske informacije podrazumijevamo da raspolažemo sekvencom slika $\{a_p[m, n], p = 1, 2, \dots, P\}$ koje sadrže potpuno iste objekte i predstavljaju različite realizacije samo u pogledu šuma. Ako je šum aditivnog karaktera, jednostavno usrednjavanje sekvence

$$a[m, n] = \frac{1}{P} \sum_{p=1}^P a_p[m, n]$$

daje dobar rezultat. Za svaki piksel standardna devijacija se smanjuje sa σ na σ/\sqrt{P} .

Ako vremensko usrednjavanje nije moguće, koristi se prostorno usrednjavanje. Pri tome neizbježno dolazi do narušavanja oštine slike.

Filtriranje u prostornom domenu

Za prostorno usrednjavanje koriste takozvani *smoothing* filtri. Riječ *smoothing* znači “zagladiti, izgladati, umanjiti neravnine...”. Stoga se ovi filtri koriste da redukuju šuma ili pripremu slike za dalju obradu, npr., segmentaciju. Pravićemo razliku između linearnih i nelinearnih algoritama za filtriranje, od kojih su prvi pogodni za implementaciju u domenu Furijeove transformacije, dok drugi nisu.

Linearni filtri

Uniformni filter

Pri primjeni ovog filtra, izlazna slika je rezultat lokalnog usrednjavanja filtrom gdje su sve težine filtra jednake. U kontinualnom prostornom domenu (x, y) impulzni odziv i prenosna funkcija dati su na Slici 27 za pravougaoni i cirkularni oblik prozora konvolucionog kernela. U diskretnom prostornom domenu $[m, n]$ vrijednosti filtra su odmjerci iz kontinualnog domena. Primjeri za slučaj pravougaonog ($J = K = 5$) i cirkularnog $R = 2.5$ oblika prozora konvolucionog kernela su dati na Slici 54.

$$h_{rect}[j, k] = \frac{1}{25} \begin{bmatrix} 1 & 1 & 1 & 1 & 1 \\ 1 & 1 & 1 & 1 & 1 \\ 1 & 1 & 1 & 1 & 1 \\ 1 & 1 & 1 & 1 & 1 \\ 1 & 1 & 1 & 1 & 1 \end{bmatrix} \quad h_{circ}[j, k] = \frac{1}{21} \begin{bmatrix} 0 & 1 & 1 & 1 & 0 \\ 1 & 1 & 1 & 1 & 1 \\ 1 & 1 & 1 & 1 & 1 \\ 1 & 1 & 1 & 1 & 1 \\ 0 & 1 & 1 & 1 & 0 \end{bmatrix}$$

(a) (b)

Slika 54. Uniformni filtri za smoothing: (a) pravougani filter ($J = K = 5$),
(b) kružni filter ($R = 2.5$)

Napomenimo da je u oba slučaja filter normalizovan, tako da je $\sum h[j, k] = 1$. To je urađeno da bi za sliku $a[m, n]$ sa konstantnim nivoima svjetline izlazna slika $c[m, n]$ bila sa jednakim nivoima svjetline kao ulazna. Kao što se može vidjeti sa Slike 27, oba filtra imaju prenosnu funkciju i sa negativnim vrijednostima (lobovima), što dovodi do inverzije faze. Implementacija kvadratnog filtra je separabilna i inkrementalna, dok je implementacija kružnog filtra samo inkrementalna.

Trougaoni filter

Izlazna slika je zasnovana na lokalnom usrednjavanju ulaza u filter, gdje vrijednosti u prozoru konvolucionog kernela imaju različite težine. U opštem slučaju, filter se može posmatrati kao konvolucija dva (identična) uniformna filtra, kvadratna ili kružna, što ima direktne konsekvence na složenost računanja. U kontinualnom prostornom domenu impulzni odziv i prenosna funkcija su dati na Slici 27. Kao što se može vidjeti, prenosne funkcije ovih filtara

nemaju negativnih lobova, pa prema tome ne obrću fazu. Primjeri pravougaonog i kružnog konvolucionog kernela su dati na Slici 55. Izvšena je normalizacija filtra tako da je $\sum h[j, k] = 1$.

$$h_{pyr}[j, k] = \frac{1}{81} \begin{bmatrix} 1 & 2 & 3 & 2 & 1 \\ 2 & 4 & 6 & 4 & 2 \\ 3 & 6 & 9 & 6 & 3 \\ 2 & 4 & 6 & 4 & 2 \\ 1 & 2 & 3 & 2 & 1 \end{bmatrix} \quad h_{cone}[j, k] = \frac{1}{25} \begin{bmatrix} 0 & 0 & 1 & 0 & 0 \\ 0 & 2 & 2 & 2 & 0 \\ 1 & 2 & 5 & 2 & 1 \\ 0 & 2 & 2 & 2 & 0 \\ 0 & 0 & 1 & 0 & 0 \end{bmatrix}$$

(a) (b)

Slika 55. Trougaoni filtri za smoothing: (a) piramidalni filtar ($J = K = 5$), (b) konusni filtar ($R = 2.5$)

Gausov filtar

Korištenje Gausovog kernela za smoothing je postalo veoma popularno. Impulsni odziv i prenosna funkcija filtra su prikazani na Slici 27. Gausov filtar je separabilan:

$$h(x, y) = g_{2D}(x, y) = \left(\frac{1}{\sqrt{2\pi}\sigma} e^{-(x^2/2\sigma^2)} \right) \cdot \left(\frac{1}{\sqrt{2\pi}\sigma} e^{-(y^2/2\sigma^2)} \right) = g_{1D}(x) \cdot g_{1D}(y)$$

Postoji nekoliko različitih pristupa pri implementaciji Gausovog filtra:

1. Konvolucija, koristeći konačan broj odmjeraka N_0 Gausove funkcije za konvolucionni kernel.

Uobičajeno se bira $N_0 = 3\sigma$ ili 5σ .

$$g_{1D}(n) = \begin{cases} \frac{1}{\sqrt{2\pi}\sigma} e^{-(n^2/2\sigma^2)} & |n| \leq N_0 \\ 0 & |n| > N_0 \end{cases}$$

2. Niz konvolucija sa uniformnim filtrom kao konvolucionim kernelom, zasnovano na centralnom graničnom teoremu.

$$g_{1D}[n] \approx u[n] * u[n] * u[n]$$

$$u(n) = \begin{cases} 1/(2N_0 + 1) & |n| \leq N_0 \\ 0 & |n| > N_0 \end{cases}$$

$$c[n] \approx ((a[n] * u[n]) * u[n]) * u[n]$$

Usvaja se da je $N_0 = \sigma$ iako to ograničava izbor σ na cjelobrojne vrijednosti.

3. Množenje u frekvencijskom domenu. Kako je Furijeova transformacija Gausove funkcije Gausova funkcija, to znači da je jednostavno odrediti prenosnu funkciju filtra $H[m_1, m_2] = G_{2D}[m_1, m_2]$. Da bi se izbjekao efekat odsijecanja (jer Gausova funkcija traje do beskonačnosti) neophodno je izabrati σ dovoljno veliko. U većini slučajeva je zadovoljavajuće ako se izabere $\sigma > k/\pi$, $k = 3$ ili 4 .

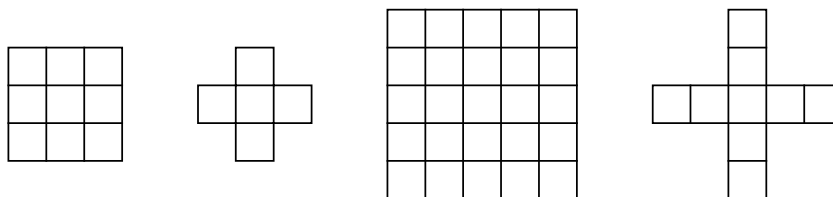
Nelinearni filtri

Median filtar

Ovaj filtar je zasnovan na *median* vrijednosti funkcije distribucije, sl.14 (a). Slično kao kod konvolucije, preko slike se pomijera prozor i izlaznom pikselu se pridružuje ona vrijednost svjetline za koju funkcija distribucije unutar prozora ima median vrijednost. Ako su dimenzije prozora $J \times K$ možemo pikselima pridružiti tabelu u kojoj je $J \cdot K$ svjetlina svih piksela poredano od najniže ka najvišoj vrijednosti svjetline, Slika 56. Ako je $J \cdot K$ neparno, tada je vrijednost svjetline koja odgovara median vrijednosti funkcije distribucije na poziciji $(J \cdot K + 1)/2$. Napomenimo da će selektovana vrijednost svjetline biti u potpunosti jednaka jednoj od postojećih vrijednosti svjetlina. Maske koje se koriste pri filtriranju ovim filtrom prikazane su na Slici 57.

0,0,0,0,3,4,4,4,5
↑

Slika 56. Određivanje median vrijednosti



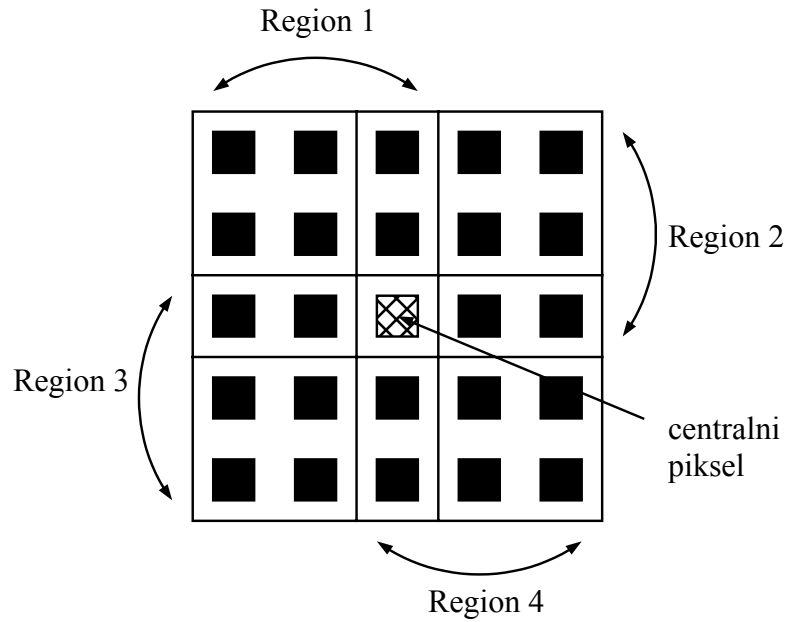
Slika 57. Najčešće maske koje se koriste pri filtriranju median filtrom

Korisna varijacija ovog filtra je *procentualni* filtar. Ovdje se centralnom pikselu prozora ne pridružuje vrijednost svjetline koja odgovara 50% (median) vrijednosti funkcije distribucije, nego ona vrijednost svjetline koja odgovara $p\%$ vrijednosti funkcije distribucije, gdje se $p\%$ kreće od 0% (*minimum* filtar) do 100% (*maksimum* filtar). Vrijednosti različite od $(p = 50)\%$ u opštem slučaju ne odgovaraju smoothing filtru.

Kuvahara (Kuwahara) filtar

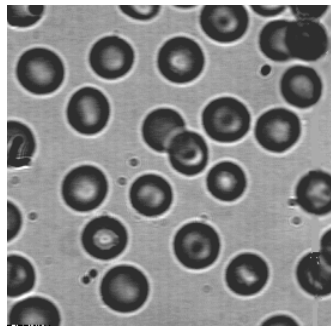
Ivice igraju važnu ulogu kako u percepciji tako i u analizi slike. Prema tome, bilo bi dobro kad bi bili u mogućnosti da sačuvamo ivice prilikom smoothinga slike, tj., da ne narušimo oštrinu slike. Iako je ovaj filtar moguće implementirati sa različitim oblicima prozora, opisaćemo algoritam sa kvadratnim oblikom prozora, veličine $J = K = 4L + 1$ gdje je L cio broj. Prozor se podijeli u četiri regiona, kao što je prikazano na Slici 58.

U svakom od četiri regiona ($i=1,2,3,4$) mjeri se srednja svjetlina m_i i varijansa s_i^2 . Za vrijednost svjetline centralnog piksela uzima se srednja vrijednost regiona sa najmanjom varijansom.

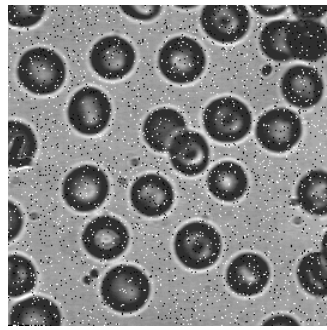


Slika 58. Definisaneje regiona Kuwahara filtra, $L = 1, J = K = 5$

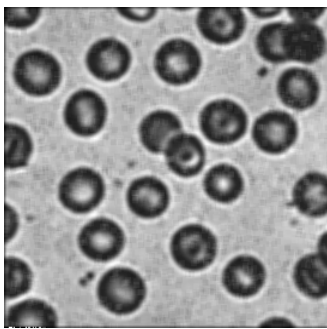
Na Slici 59 i Slici 60 dato je poređenje linearnih i nelinearnih filtara za prigušivanje šuma.



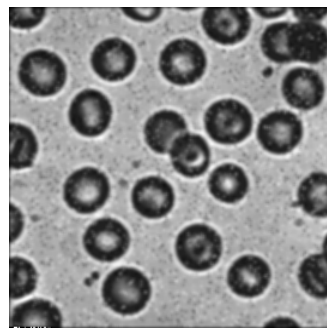
(a)



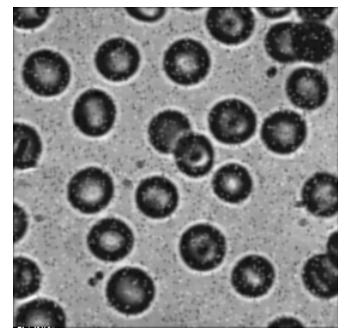
(b)



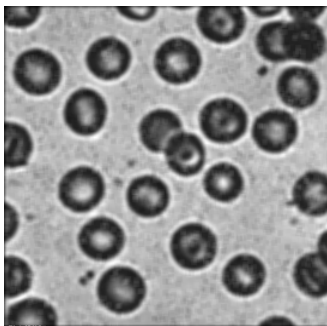
(c)



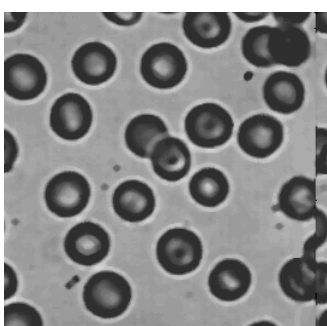
(d)



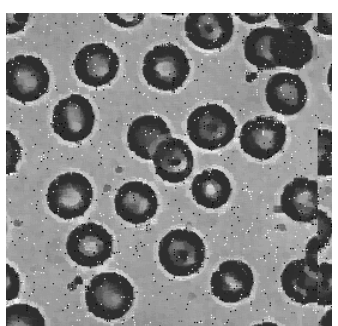
(e)



(f)



(g)



(h)

Slika 59. Poređenje filtera za prigušivanje šuma. (a) Originalna slika. (b) Slika sa šumom (“so i biber”). Filtrirane slike: (c) pravougaonim uniformnim filtrom (5x5), (d) piramidalnim filtrom 5x5, (e) konusnim filtrom 5x5, (f) Gausovim filtrom $\sigma=2.5$, (g) median filtrom 5x5, (h) Kuvahara filtrom 5x5.



(a)



(b)



(c)



(d)

Slika 60. Poređenje filtara za prigušivanje šuma. (a) Slika narušena šumom. Filtrirane slike: (c) Gausovim filtrom ($\sigma = 1.0$), 5×5 , (d) Kuvahara filtrom 5×5 , (e) median filtrom 5×5 .